

В. г. резонатор помещён в двухступенчатый термостат и защищён трёхслойным магн. экраном.

Теоретическое описание. Работу В. г. можно объяснить в рамках квантового описания ансамбля атомов водорода и классич. описания высокочастотного эл.-магн. поля в резонаторе. Для ансамбля атомов вводится макроскопич. вектор поляризации \vec{P} , вычисляемый квантовомеханически. Если разность населённостей уровней $(1,0)$ и $(0,0)$ $\Delta N = N_1 - N_2$, напряжённость H_1 высокочастотного магн. поля и поляризация \vec{P} постоянны внутри резонатора, то ур-ния, приближённо описывающие связь этих величин, имеют вид:

$$\ddot{P} + \frac{2}{\tau} \dot{P} + \omega_p^2 P = - \frac{2M^2\omega_0}{\hbar} HN; \quad (1)$$

$$\Delta \dot{N} + \frac{1}{\tau} (\Delta N - \Delta N_0) = 2H\dot{P}/\hbar\omega_0; \quad (2)$$

$$\ddot{H} + \frac{\omega_p}{Q_p} H_1 + \omega_p^2 H_1 = - 4\pi\ddot{P}. \quad (3)$$

Здесь τ — время релаксации, т. е.ср. время, за к-ро атомы водорода в резонаторе перходят из состояния $(1,0)$ в состояние $(0,0)$ при $H_1=0$. Величина τ близка к времени пребывания атома в накопит. ячейке; $\omega_0 = 2\pi\nu_0$, $\omega_p^2 = \omega_0^2 + \frac{1}{\tau^2}$ — угловая частота, соответствующая вершине спектральной линии; M — матричный элемент магн. дипольного квантового перехода $(1,0) \rightarrow (0,0)$; ω_p , Q_p — резонансная частота и погруженная добротность резонатора; ΔN_0 — разность населённостей атомов водорода в отсутствие эл.-магн. поля в резонаторе ($H_1=0$).

Решение ур-ний (1) — (3) приводит к след. выражениям для H_1^2 и угловой частоты генерации:

$$H_1^2 = \frac{4\pi Q_p \hbar}{\tau} \left\{ \Delta N_0 - \frac{\hbar}{4\pi Q_p M^2 \tau} (1 + \delta^2 \tau^2) \right\}; \quad (4)$$

$$\omega = \omega_0 (1 - \delta); \quad \delta = \frac{2 Q_p}{\omega_p \tau} (\omega_0 - \omega_p). \quad (5)$$

Ф-ла (4) определяет пороговую разность населённостей в единице объёма резонатора (ΔN_0)_п, при превышении к-рой наступает самовозбуждение В. г.:

$$(\Delta N_0)_p = \frac{\hbar}{4\pi Q_p M^2 \tau} (1 + \delta^2 \tau^2). \quad (6)$$

Условие самовозбуждения $\Delta N \geq (\Delta N_0)_p$. Пучок атомов, влетающих в накопит. ячейку, состоит в осн. из атомов в состоянии $(1,0)$, т. е. $(\Delta N_0)_p$ определяется кол-вом атомов n_{10} , влетающих в накопит. ячейку в 1 с; $n_{10} = V_p/\eta T (\Delta N_0)_p$, где V_p — объём резонатора, η — коэф.,

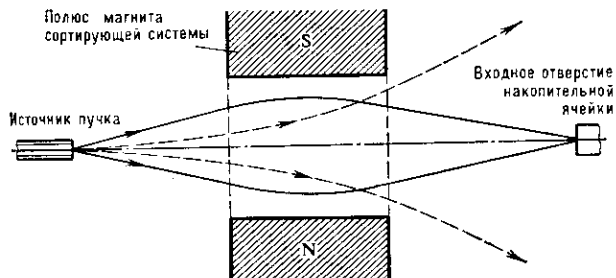


Рис. 5. Траектории движения атомов водорода; в состоянии $(1,0)$ — сплошные линии, в состоянии $(0,0)$ — пунктир.

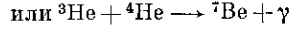
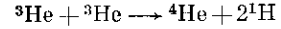
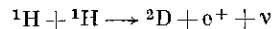
учитывающий неоднородность напряжённости поля H_1 в объёме резонатора и то, что накопит. ячейка занимает только часть объёма резонатора. Макс. мощность генерации В. г. $P = \hbar\omega_0(n - n_0)$. При $n = 10^{14} - 10^{12}$ атомов/с и $n \gg n_0$ $P \sim 10^{-10} - 10^{-12}$ Вт.

Из (5) следует, что отклонение частоты генерации ω от ω_0 зависит от погрешности настройки резонатора на частоту ω_0 из-за затягивания частоты. Несмотря

на то, что для В. г. выполняются условия $Q_p/Q_d \ll 1$ и $|(\omega_0 - \omega_p)\omega_0| \ll 1$, ω отличается от ω_0 . В В. г., работающих в составе квантовых стандартов частоты, принимаются спец. меры по настройке резонатора на частоту ω_0 , обеспечивающие относит. воспроизводимость частоты $\sim 10^{-13}$.

Лит.: Ельяшевич М. А., Атомная и молекулярная спектроскопия, М., 1962; Орасовский А. Н., Молекулярные генераторы, М., 1964; Григорьев И. В., Жаботинский М. Е., Золин В. Ф., Квантовые стандарты частоты, М., 1968; Гайгеров Б. А. и др., Квантовая мера частоты на водородном генераторе, «Измерительная техника», 1972, № 11; Страховский Г. М., Успенский А. В., Основы квантовой электроники, М., 1973. Е. Н. Базаров.

ВОДОРОДНЫЙ ЦИКЛ (протон-протонная цепочка) — последовательность термоядерных реакций в звёздах, приводящая к превращению водорода в гелий без участия катализаторов. В. ц. — осн. источник энергии звёзд с массой $M < 1,2 M_\odot$ (масс Солнца) на нач. стадиях их существования (см. Эволюция звёзд). Наиболее важные реакции В. ц.:



В. ц. начинается реакцией столкновения двух протонов (^1H или p) с образованием ядра дейтерия (^2D). Дейтерий реагирует с протоном, образуя изотоп гелия ^3He с испусканием γ -фотона. Два ядра ^3He при столкновении образуют ^4He с отщеплением двух протонов либо ^3He соединяется с ^4He и даёт ядро ^7Be . Последнее в свою очередь захватывает либо электрон (e^-), либо протон, и возникает ещё одно разветвление протон-протонной цепочки реакций. В результате В. ц. может идти тремя разл. путями I, II и III.

В табл. приведены осн. параметры реакций В. ц.: Q — полное энерговыделение; τ — характерное время протекания реакций; энергия используемых нейтрино

Параметры реакций водородного цикла

Реакции	Q , МэВ	τ , лет	ε_ν , МэВ; X
$^1\text{H}(p, e^+) ^2\text{D} \dots$	1,44	$8,2 \cdot 10^9$	$\varepsilon_\nu = 0,26$; $\varepsilon_\nu, \text{ макс} = 0,42$
$^2\text{D}(p, \gamma) ^3\text{He} \dots$	5,49	$4,4 \cdot 10^{-8}$	$X(^2\text{D}) = 2 \cdot 10^{-18}$
$^3\text{He}(^3\text{He}, 2p) ^4\text{He} \dots$	12,86	$2,4 \cdot 10^6$	$X(^3\text{He}) = 1,6 \cdot 10^{-5}$
$^3\text{He}(^4\text{He}, \gamma) ^7\text{Be} \dots$	1,59	$9,5 \cdot 10^5$	$X(^7\text{Be}) = 1,2 \cdot 10^{-11}$
$^7\text{Be}(e^-, \gamma) ^7\text{Li} \dots$	0,862	0,30	$\varepsilon_\nu = 0,862$ (90%); 0,383 (10%); $\varepsilon_\nu = 0,81$
$^7\text{Li}(p, ^4\text{He}) ^4\text{He} \dots$	17,348	$3,8 \cdot 10^{-5}$	$X(^7\text{Li}) = 1,5 \cdot 10^{-15}$
$^7\text{Be}(p, \gamma) ^8\text{B} \dots$	0,137	$1,0 \cdot 10^2$	$X(^7\text{Be}) = 4 \cdot 10^{-21}$
$^8\text{B}(e^+, \nu) ^8\text{Be}^* \dots$	15,08	$3,0 \cdot 10^{-8}$	$\varepsilon_\nu = 7,3$; $\varepsilon_\nu, \text{ макс} = 14,06$
$^8\text{Be}^* \rightarrow 2 ^4\text{He} \dots$	2,99		
$^4\text{H} \rightarrow ^4\text{He} + 2\nu \dots$	26,73		$\varepsilon_\nu = 0,6$

ε_ν и ёср. ε_ν и макс. $\varepsilon_\nu, \text{ макс}$ значения в случае, когда нейтрино испускаются с энергией в интервале $0 < \varepsilon_\nu < \varepsilon_\nu, \text{ макс}$, а также концентрации промежуточных атомных ядер (по массе X), устанавливавшиеся в процессе В. ц. Величины τ и X рассчитаны для физических условий, близких к ожидаемым в центре Солнца: при температуре $T \approx 15 \cdot 10^6$ К, плотности 100 г/см³ и равных концентрациях водорода и гелия по массе $X_{\text{H}} = X_{\text{He}} = 0,5$. Скорости промежуточных